



อิทธิพลของรัศมีป่าดายในการลากขึ้นรูปถ้วยสี่เหลี่ยมจัตุรัสแบบมีปีก

Influences of Die Radius on Rectangular Cup Deep Drawing

ไพบูลย์ อุ่นเมฆ^{1*} รัชชัย แก้วสีใส² บัญชา วงศ์ครีกา³ บุญเรือง เย็นศิริ⁴ ชวลา วรรณสิกธ์⁵ กลุชาติ จุลพิทย์⁶

^{1,2,3,4,5,6} ภาควิชาวิศวกรรมอุตสาหการ คณะวิศวกรรมศาสตร์ มหาวิทยาลัยเทคโนโลยีราชมงคลรัตนบุรี

อำเภอธัญบุรี จังหวัดปทุมธานี รหัสไปรษณีย์ 12110

E-mail: paisamaemmi@yahoo.com*

บทคัดย่อ

บทความนี้เป็นการศึกษาอิทธิพลของรัศมีป่าดายขนาด 6, 8, 10 และ 12 มม. ในการลากขึ้นรูปถ้วยสี่เหลี่ยมจัตุรัสแบบมีปีก ขนาดถ้วย กว้าง 60 มม. ยาว 60 มม. สูง 30 มม. ความกว้างปีกด้านละ 4 มม. เพื่อศึกษาถึงอิทธิพลของรัศมีป่าดายที่มีผลต่อแรงสูงสุดในการลากขึ้นรูป คุณภาพของถ้วยสี่เหลี่ยมจัตุรัสแบบมีปีกหลังการลากขึ้นรูป รวมถึงรัศมีป่าดายที่เหมาะสมต่อการลากขึ้นรูป โดยในการทดลองนี้จะใช้ เหล็กกล้าคาร์บอนเกรด SPCC (JIS) และเหล็กกล้า ความแข็งแรงสูงเกรด SAPH440 (JIS) ขนาดแผ่นเปล่า 120 x 120 มม. หนา 1.4 มม. ลากขึ้นรูปถ้วยแม่พิมพ์ลากขึ้นรูปถ้วยสี่เหลี่ยมจัตุรัสแบบมีปีก และเปรียบเทียบผลการทดลอง จากการทดลองพบว่าเหล็กทั้งสองชนิด จะใช้แรงในการลากขึ้นรูปลดลงเมื่อใช้รัศมีป่าดายขนาดใหญ่ขึ้น และรัศมีป่าดายที่ทดลองสามารถลากขึ้นรูปชิ้นงานได้สมบูรณ์ ชิ้นงานในทดสอบได้ดี ไม่เกิดรอยย่นกับวัสดุทั้งสองชนิดเมื่อใช้แรงกดแผ่นกดยึดชิ้นงานเท่ากัน 37.17 kN. สำหรับเหล็ก SPCC และ 55.74 kN. สำหรับเหล็ก SAPH440 ตามลำดับ ในส่วนของการเปลี่ยนแปลงของความหนา เหล็ก SAPH440 บริเวณมุมก้นกล่องจะมีความบางกว่าเหล็ก SPCC เนื่องจากเหล็ก SAPH440 มีความสามารถในการยืดตัวที่น้อยกว่า ในส่วนลักษณะผิวของชิ้นงาน เหล็ก SAPH440 เกิดการยืดติดกับผิวแม่พิมพ์ได้ง่ายทำให้เกิดรอยเสียดสีบนชิ้นงานที่เห็นได้ชัดเจนกว่าเหล็ก SPCC

คำหลัก รัศมีป่าดาย ถ้วยสี่เหลี่ยม ลากขึ้นรูป

1. บทนำ

ประเทศไทยเป็นฐานการผลิตรถยนต์ที่สำคัญของโลก ประเทศนี้ และมีแนวโน้มที่จะผลิตเพื่อการส่งออกจำนวนมากขึ้น เนื่องจาก ในการผลิตรถยนต์เพื่อส่งออกจะต้องผลิตให้ได้รูปแบบต่างๆ กัน ตามความต้องการที่แตกต่างกันในแต่ละประเทศ การผลิตชิ้นส่วนรถยนต์จะมีกระบวนการเชื่อมประกอบตัวถัง เป็นการนำชิ้นส่วนที่เป็นโลหะซึ่งได้ผ่านกระบวนการลากขึ้นรูปมาแล้ว มาเชื่อมประกอบให้เป็นตัวถังรถ โลหะที่ใช้นั้น มีความหนาแตกต่างกันไป ตามความจำเป็นและการออกแบบ แต่ในความเป็นจริงแล้วนั้น เหล็กที่มีความหนาไม่มาก จะถูกนำมาลากขึ้นรูปให้เป็นสันมูนโดย เทคนิคทางวิศวกรรม ที่เรียกว่ากระบวนการลากขึ้นรูป (Deep drawing) [4] ที่จะทำให้ได้ค่าความแข็งแรงมากขึ้น การนำเหล็กที่มีความแข็งแรงเป็นพิเศษ (High Tensile Steel) มาใช้เสริมใน

โครงสร้างตัวถัง [1] เพื่อลดการบุบตัวจากแรงกระแทกที่เกิดจาก การชนรวมทั้งเสริมความแข็งแกร่งของโครงสร้างตัวถัง [2] กระบวนการลากขึ้นรูป (Deep drawing) เป็นกระบวนการที่ สลับซับซ้อนมาก เนื่องจากการลากขึ้นรูปจะเกี่ยวข้องกับตัวแปรหลายชนิด ซึ่งเป็นต้องพิสูจน์ให้เห็นถึงตัวแปรเหล่านั้นว่ามีผลต่อ การลากขึ้นรูปอย่างไร การลากขึ้นรูปโลหะแผ่นถ้วยทรงกระบอก จะมีความสามารถในการโหลดตัวของเหล็กที่ผ่านช่องว่างระหว่าง พื้นที่และด้วย จึงสามารถควบคุมการโหลดได้อย่างสมบูรณ์และง่าย แต่การลากขึ้นรูปที่ไม่สมมาตรในการโหลดตัวของเหล็กผ่านช่องว่างระหว่างพื้นที่และด้วย จะควบคุมการโหลดได้ยาก เช่น การลากขึ้นรูปถ่องสี่เหลี่ยมจัตุรัสซึ่งต้องว่าเป็นพื้นฐานมากที่สุดในการลากขึ้นรูป [3], [4] การนำเหล็กแผ่นมาใช้ในกระบวนการลากขึ้นรูปโลหะ [11], [12] ต้องคำนึงถึงปัจจัยที่ส่งผลกระทบต่อคุณภาพของชิ้นงาน สำเร็จ เพื่อป้องกันความเสียหายที่อาจจะเกิดกับชิ้นงานในกระบวนการลากขึ้นรูป [5] ดังนั้นจึงได้ทำการศึกษาอิทธิพลของรัศมีป่าดายแม่พิมพ์ตัวเมีย (DIE RADIUS) ในการลากขึ้นรูปถ้วยสี่เหลี่ยมจัตุรัสแบบมีปีกเหล็กกล้าคาร์บอนเกรด SPCC (JIS) และเหล็กกล้าความแข็งแรงสูงเกรด SAPH440 (JIS) เพื่อเปรียบเทียบผลการทดลอง หาความสัมพันธ์ของตัวแปรในการลากขึ้นรูป สามารถนำอิทธิพลของตัวแปรในการลากขึ้นรูปไปใช้ในการออกแบบแม่พิมพ์ลากขึ้นรูปได้อย่างมีประสิทธิภาพ การศึกษานี้ ยังเน้นไปที่ชิ้นงานชิ้นรูปถ้วยทรงสี่เหลี่ยมจัตุรัสแบบมีปีก โดยการวิเคราะห์ตัวแปรต่างๆ ในกระบวนการลากขึ้นรูป เช่น รัศมีป่าดาย แม่พิมพ์ตัวเมีย (DIE RADIUS) แรงกดของแผ่นกดยึดชิ้นงาน ความหนาและคุณภาพของชิ้นงานภายหลังการลากขึ้นรูป

2. วิธีการทดลอง

2.1 วัสดุชิ้นงาน เครื่องมือและอุปกรณ์ที่ใช้ในการทดลอง

2.2.1 วัสดุชิ้นงาน

ในการศึกษาจะใช้เหล็กแผ่นสำหรับลากขึ้นรูปเล็ก จำนวน 2 ชนิด คือเหล็กกล้าคาร์บอนเกรด SPCC (JIS) และเหล็กกล้า ความแข็งแรงสูงเกรด SAPH440 (JIS) โดยเตรียมแผ่นเปล่า [6], [7] เหล็กทั้งสองชนิดที่ขนาดความกว้างเท่ากัน 120 มม. ความยาวเท่ากัน 120 มม. และหนาเท่ากัน 1.4 มม. องค์ประกอบทางเคมี และคุณสมบัติทางกลของเหล็ก SPCC และเหล็ก SAPH440 แสดง ดังตารางที่ 1 และ 2 ตามลำดับ



ตารางที่ 1 องค์ประกอบทางเคมีเหล็ก SPCC และเหล็ก SAPH440

Symbol (JIS)	SPCC		SAPH440	
	C	0.0267	C	0.1260
S	0.0135	Si	0.0500	
Mn	0.1545	Mn	1.0250	
P	0.0236	P	0.0120	
Cr	0.0123	S	0.0030	
Ni	0.0112	Cr	0.0210	
Mo	0.0047	Ni	0.0180	
Cu	0.0170	Mo	0.0120	
V	0.0029	Cu	0.0200	
Co	0.0021	Nb	<0.0010	
Al	0.0290	V	0.0020	
Ti	0.0016	Co	<0.0010	
Sn	0.0035	Al	0.0210	
W	0.1255	B	<0.0010	
-	-	Ti	0.0010	
-	-	As	0.0020	
-	-	Sn	0.0080	
-	-	W	0.0010	

ตารางที่ 2 แสดงสมบัติทางกลเหล็ก SPCC และเหล็ก SAPH440

Symbol (JIS)	SPCC	SAPH440
Thickness (mm.)	1.4	1.4
Yield Point σ_y (MPa)	226	357
Ultimate Strength σ_u (MPa)	321	478
Elongation (%)	46.0	33.6

2.2.2 สารหล่อลื่น

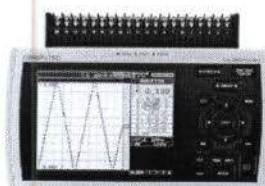
ในการลากขึ้นรูปถ้วยสี่เหลี่ยมจัตุรัสแบบมีปีกที่รัศมีป่าดาย 6,8,10 และ 12 มม. เป็นการศึกษาถึงอิทธิพลของรัศมีป่าดายที่มีผลต่อการลากขึ้นรูปเหล็ก SPCC และเหล็ก SAPH440 เพื่อให้ผลการทดลองเป็นไปอย่างถูกต้องโดยไม่มีอิทธิพลของสารหล่อลื่นเข้ามาเกี่ยวข้อง จึงเลือกใช้สารหล่อลื่นเพียงชนิดเดียวในการลากขึ้นรูปสารหล่อลื่นที่ใช้ในการทดลองคือ น้ำมันน้ำพารา ซึ่งเป็นน้ำมันพืชที่มีลักษณะสีเหลือง มีราคาถูกนิยมใช้กันโดยทั่วไป สามารถใช้ในงานขึ้นรูปถักได้ทั้งเหล็กกล้าและเหล็กกล้าไร้สนิม ใช้หล่อลื่นได้โดยตรงไม่ต้องผสมกับน้ำ

2.2.3 เครื่องปั๊มไฮดรอลิก

ในการทดลองใช้เครื่องปั๊มไฮดรอลิกขนาด 80 ดัน ยี่ห้อ TMC ขนาดหน้าโต๊ะกว้าง 800 มม. ยาว 800 มม. ขนาดช่วงชักสูงสุด 650 มม. สามารถปรับระดับแรงกดแผ่นกดยืดชั้นงานได้โดยแรงดันที่ใช้ในการกดแผ่นกดยืดชั้นงาน จะถูกส่งมาจากการถ่ายคุณภาพโดยใช้ลสทดสอบเครื่องปั๊มไฮดรอลิก ซึ่งการทำงานของสายคุณภาพสามารถควบคุมแรงดันให้คงที่ได้

2.2.4 อุปกรณ์บันทึกข้อมูล

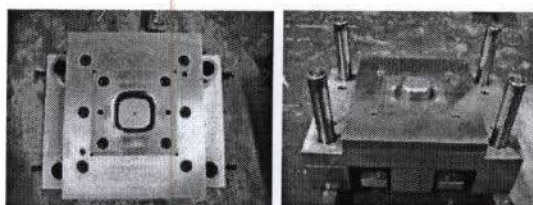
ในการทดลองเพื่อเก็บข้อมูล ได้กำหนดตัวแปรของการทดลองโดยอิทธิพลของตัวแปรการทดลองได้แก่ รัศมีป่าดายขนาด 6,8,10 และ 12 มม. ทำการทดสอบตัวแปรที่ละระดับและบันทึกการเปลี่ยนแปลงของแรงต่อรับความลึกที่ขึ้นรูป วัดแรงและบันทึกผลการทดลองด้วยอุปกรณ์จัดเก็บสัญญาณ (Mini data logger) ซึ่งเป็นอุปกรณ์จัดเก็บข้อมูลพื้นฐานของระบบ (data logger) โดยผ่านอุปกรณ์วัดแรงดันน้ำมัน (Pressure transducer) ตัววัดระยะทาง (Liners guide) บันทึกข้อมูลผ่านอุปกรณ์จัดเก็บข้อมูล (Flash Drive) เพื่อความสะดวกในการถ่ายโอนข้อมูลจากอุปกรณ์จัดเก็บสัญญาณมาอยู่คอมพิวเตอร์ อุปกรณ์จัดเก็บสัญญาณแสดงดังรูปที่ 1



รูปที่ 1 อุปกรณ์จัดเก็บสัญญาณ

2.2.5 ชุดแม่พิมพ์

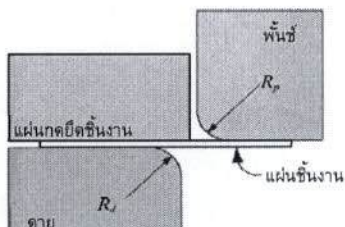
เบ็ดแม่พิมพ์สำหรับลากขึ้นรูปถ้วยสี่เหลี่ยมจัตุรัสแบบมีปีกที่มีขนาดความกว้างของก้นถ้วยสี่เหลี่ยมเท่ากับ 60 มม. ความยาวเท่ากับ 60 มม. และความลึกเท่ากับ 30 มม. สามารถลดเปลี่ยนลายได้ขั้นตอนแม่พิมพ์ติดตั้งอยู่บนเครื่องปั๊มไฮดรอลิก โดยไม่ต้องยกแม่พิมพ์ลง ลักษณะของชุดแม่พิมพ์ลากขึ้นรูปถ้วยสี่เหลี่ยมจัตุรัสแบบมีปีกแสดงดังรูปที่ 2



(ก) แสดงลักษณะของพั้นช์ (ข) แสดงลักษณะของ cavity

รูปที่ 2 แสดงลักษณะของชุดแม่พิมพ์ลากขึ้นรูปถ้วยสี่เหลี่ยมจัตุรัสแบบมีปีก

ในการทดลองจะใช้พั้นช์เพียงตัวเดียวแต่จะเปลี่ยนขนาดของรัศมีป่าดาย โดยจะใช้ขนาดของรัศมีมุ่มดาบคงที่ (R_d) เท่ากับ 21.71 มม. และเปลี่ยนขนาดรัศมีป่าดายเป็น 6,8,10 และ 12 มม. พั้นช์และถ้วยที่ลากขึ้นรูปถักมีขนาด 60 ± 2 HRC โดยมีรัศมีป่าพั้นช์ เท่ากับ 10 มม. รัศมีมุ่มพั้นช์ (R_p) เท่ากับ 20 มม. มีระยะห่างระหว่างพั้นช์และถ้วย [8], [10] เท่ากับ 1.71 มม. ลักษณะของรัศมีมุ่มพั้นช์และรัศมีมุ่มดาบแสดงดังรูปที่ 3



รูปที่ 3 แสดงภาพหน้าตัดของรัศมีมุมพั้นช์ (R_p) และรัศมีมุม cavity (R_c)

3. ดำเนินการทดลอง

การดำเนินการทดลองจำเป็นที่จะต้องทราบค่าต่างๆ ในทางทฤษฎีก่อนเพื่อนำค่าที่ได้จากการคำนวณ ไปใช้เป็นค่าในการอ้างอิงเบื้องต้นของการทดลอง สำหรับค่าที่มีความจำเป็นที่ต้องทราบก่อนทำการทดลองประกอบด้วย ค่าของแรงกระแทกที่ใช้ในการถกขึ้นรูปชิ้นงาน [9] ค่าของแรงกดแผ่นกดยึดชิ้นงาน [10] ที่ใช้ในการถกขึ้นรูปของเหล็กที่นำมาทำการทดลองทั้งสองชนิด ค่าของขนาดแผ่นเปล่าชิ้นงานก่อนการถกขึ้นรูป [7] ความเร็วในการถกขึ้นรูปที่ซึ่งค่าเท่ากัน 12 เมตร/นาที สำหรับรายละเอียดในการคำนวณค่าต่างๆ ที่เกี่ยวข้องในการทดลองมีดังนี้

3.1 แรงสูงสุดที่ใช้ในการถกขึ้นรูป สามารถคำนวณได้ตามสมการดังนี้ [9]

$$F_{\max} = \pi d_m s_o \left[1.1 \frac{1.3 s_o}{\eta_{\text{det}}} \left(\ln \frac{d_o}{d_i} - 0.25 \right) \right] \quad (1)$$

3.2 แรงกดของแผ่นกดยึดชิ้นงาน โดยทั่วไปแรงกดของแผ่นกดยึดชิ้นงานจะมีขนาดประมาณ 1/3 เท่า ของแรงที่พั้นช์ใช้สามารถคำนวณได้ตามสมการดังนี้ [4], [10]

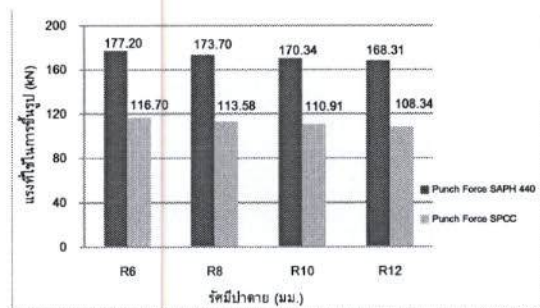
$$F_{BH} = A_{BH} P_{BH} \quad (2)$$

4. ผลการดำเนินงานและการวิเคราะห์

4.1 แรงที่ใช้ในการขึ้นรูป

ในการทดลอง เพื่อเก็บข้อมูลได้ทำการเชื่อมต่ออุปกรณ์จัดเก็บสัญญาณกับเครื่องบันทึกข้อมูล โดยเริ่มต่ออุปกรณ์จัดเก็บสัญญาณ (Mini data logger) ผ่านอุปกรณ์วัดแรงดันน้ำมัน (Pressure transducer) และตัววัดระยะทาง (Liners guide) ที่ติดตั้งอยู่กับเครื่องบันทึกข้อมูล ให้เข้ากับค่าแรงกดของพั้นช์ แรงกดแผ่นกดยึดชิ้นงาน และระยะกดลึกของชิ้นงาน บันทึกข้อมูลที่ได้ลงอุปกรณ์บันทึกข้อมูล (Flash Drive) เพื่อความสะดวกในการถ่ายโอนข้อมูลจากอุปกรณ์จัดเก็บสัญญาณมาบังคับพิมพ์เดอร์ จากการทดลองขึ้นรูปชิ้นงานด้วยสีเหลืองจุดรัสแบบมีปิกัดด้วยเหล็ก SPCC สามารถขึ้นรูปได้สมบูรณ์ โดยใช้แรงกดแผ่นกดยึดชิ้นงาน 37.17 kN. ชิ้นงานที่ได้จากการถกขึ้นรูปด้วยรัศมีบ่าบาททั้ง 4 ระดับ ไม่เกิดรอยแตกและรอยย่น หลังจากนั้นจึงทดลองขึ้นรูปชิ้นงานด้วยเหล็ก SAPH440 โดยใช้แรงกดแผ่นกดยึดชิ้นงาน 55.74 kN. ซึ่ง

เป็นค่าที่ได้มาจากการคำนวณทางทฤษฎี ชิ้นงานที่ได้สมบูรณ์ไม่เกิดรอยแตกและรอยย่น เช่นเดียวกัน จึงนำผลของแรงกดแผ่นกดยึดชิ้นงานและแรงสูงสุดที่ใช้ในการถกขึ้นรูปของเหล็ก SPCC และเหล็ก SAPH440 มาทำการเปรียบเทียบกันแสดงดังรูปที่ 4



รูปที่ 4 แสดงการเปรียบเทียบแรงขึ้นรูปชิ้นงานระหว่างเหล็ก SPCC กับเหล็ก SAPH440

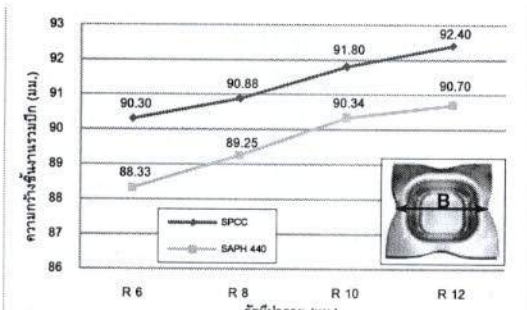
หลังจากที่ได้ทำการทดลองถกขึ้นรูปเหล็ก SPCC และเหล็ก SAPH440 เมื่อชิ้นงานที่ผ่านการขึ้นรูปแล้วมีความสมบูรณ์ไม่เกิดรอยแตกและรอยย่นในทุกรุ่ดับของตัวแปรทดสอบ จึงทำการเปรียบเทียบความเปลี่ยนแปลง ของแรงกดแผ่นกดยึดชิ้นงานและแรงสูงสุดที่ใช้ในการถกขึ้นรูป ระหว่างเหล็ก SPCC กับเหล็ก SAPH440 จากรูปที่ 4 จะเห็นว่าเหล็ก SAPH440 จะใช้แรงกดขึ้นรูปสูงกว่าเหล็ก SPCC ในทุกรุ่ดับของรัศมีบ่าบาทที่เปลี่ยนไปเนื่องจากคุณสมบัติทางกลของเหล็ก SPCC และเหล็ก SAPH440 ที่ใช้ในการทดลองมีความแตกต่างกัน โดยเหล็ก SAPH440 เป็นเหล็กที่มีความแข็งแรงมากกว่าเหล็ก SPCC จึงใช้แรงกดของพั้นช์เพื่อที่จะทำให้แผ่นกดเปลี่ยนรูป ให้เข้าไปยังปากตายจนกระทั่งถึงความลึกที่ต้องการคือ 30 มม. มากกว่าเหล็ก SPCC และเหล็ก SAPH440 ต้องใช้แรงกดแผ่นกดยึดชิ้นงานมากกว่าเหล็ก SPCC เพื่อบังคับการเกิดรอยย่นบริเวณปิกัดด้วยสีเหลืองจุดรัส โดยเหล็ก SPCC ใช้แรงกดแผ่นกดยึดชิ้นงานที่เหมาะสมคือ 37.17 kN. ส่วนเหล็ก SAPH440 ใช้แรงกดแผ่นกดยึดชิ้นงานที่เหมาะสมคือ 55.74 kN.

4.2 อิทธิพลของรัศมีบ่าบาทที่มีผลต่อความกว้างของชิ้นงานรวมปิก

นำชิ้นงานที่ได้จากการทดลองทั้งเหล็ก SPCC และเหล็ก SAPH440 มาด้วยความกว้างของชิ้นงานรวมปิกโดยกำหนดตัวแหน่งของการวัดความกว้างระหว่างปิกกั้งสองด้าน ในบริเวณปิกที่เว้าเข้าไปลึกที่สุด ซึ่งเป็นจุดที่แสดงถึงความกว้างของชิ้นงานรวมปิก ชิ้นงานจากเหล็ก SPCC จะมีความกว้างของชิ้นงานรวมปิกมากกว่าเหล็ก SAPH440 เล็กน้อย จากการยึดตัวของแผ่นกดชิ้นงานจะมีกระบวนการถกขึ้นรูป เหล็ก SPCC จะมีการยึดตัวมากกว่าเหล็ก SAPH440 เนื่องจากเหล็ก SPCC เป็นเหล็กที่มีความแข็งแรงต่ำกว่าเหล็ก SAPH440 และความกว้างของ



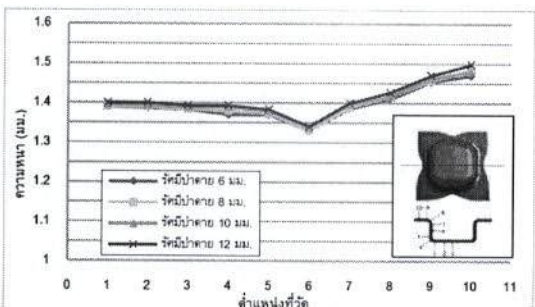
ขั้นงานรวมปีกที่วัดได้นั้น ค่าความกว้างของขั้นงานจากเหล็ก SPCC และเหล็ก SAPH440 เป็นไปในทิศทางเดียวกัน คือค่าความกว้างของขั้นงานรวมปีกจะเพิ่มขึ้นเล็กน้อย เมื่อเลือกใช้รัศมีบ่า cavity ขนาดใหญ่ขึ้นจากการดัดตัวของขั้นงานบริเวณปากกว้างให้ได้ตามขนาดของรัศมีบ่า cavity เมื่อใช้ขนาดของรัศมีบ่า cavity ที่มีขนาดใหญ่ขึ้นปากกว้างก็จะกว้างขึ้น ทำให้ความกว้างของขั้นงานรวมปีกกว้างขึ้นตามไปด้วย



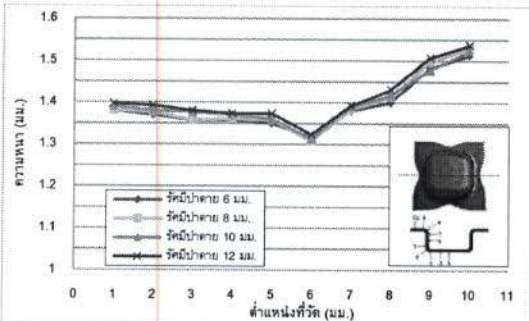
รูปที่ 5 กราฟแสดงความกว้างของขั้นงานรวมปีก (B) ของเหล็ก SPCC และเหล็ก SAPH440

4.3 อิทธิพลของรัศมีบ่า cavity ที่มีผลต่อความหนาแน่นด้วยด้านตรงของขั้นงาน

จากการทดลองลากขึ้นรูปด้วยสีเหลี่ยมจัตุรัสแบบมีปีก เมื่อทำการลากขึ้นรูปขั้นงาน ได้ด้วยสีเหลี่ยมจัตุรัสแบบมีปีกที่สมบูรณ์ไม่เกิดรอยแตกและรอยย่น จึงนำขั้นงานที่ได้จากการลากขึ้นรูปมาทำการดัดฝ่าริมเพื่อวัดความหนาของผนังขั้นงานส่วนที่ตรง แล้วนำค่าที่ได้มาสร้างเป็นกราฟเส้น เพื่อเปรียบเทียบผลความหนาแน่นด้านตรงของขั้นงานที่รัศมีบ่า cavity แต่ละระดับของด้วยเบร์ที่ทดสอบได้กราฟเส้นความหนาแน่นด้านตรงของขั้นงานแสดงดังรูปที่ 6 และ 7 จากรูปที่ 6 และ 7 ผลความหนาแน่นด้านตรงของขั้นงานที่ผ่านกรรมวิธีลากขึ้นรูปเล็ก โดยใช้รัศมีบ่า cavity ในการลากขึ้นรูปที่แตกต่างกัน การวัดความหนาของขั้นงานจะวัดที่ตำแหน่งต่างๆ ดังตัวอย่างด้านล่าง ไปจนถึงปีกด้วย จากรูปที่ได้จะเห็นว่าการเปลี่ยนแปลงขนาดของรัศมีบ่า cavity จะไม่มีอิทธิพลอย่างชัดเจน ต่อความหนาแน่นด้านตรงของขั้นงาน



รูปที่ 6 กราฟแสดงความหนาแน่นด้านตรงของขั้นงานเหล็ก SPCC แต่ละรัศมีบ่า cavity



รูปที่ 7 กราฟแสดงความหนาแน่นด้านตรงของขั้นงานเหล็ก SAPH440 แต่ละรัศมีบ่า cavity

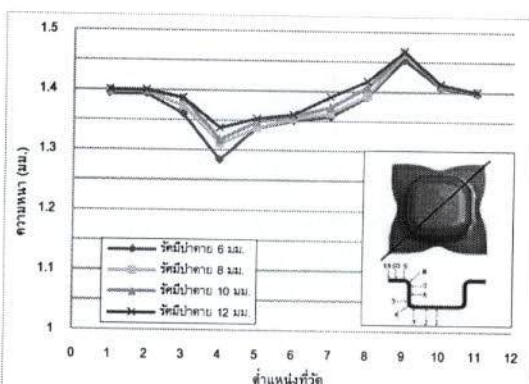
ทั้งนี้ผลการวัดความหนาแน่นขั้นงานของเหล็ก SPCC และเหล็ก SAPH440 มีแนวโน้มเช่นเดียวกัน นอกเหนือจากนี้จะพบว่า ตรงบริเวณตัวแหน่งที่ 6 จะเป็นตัวแหน่งที่มีความหนาของผนังถ่วงน้อยที่สุด เพราะเป็นบริเวณที่เกิดความเค้นตึงในแนวแกนสูงสุดของการลากขึ้นรูป ส่วนบริเวณปีกกว้างในตัวแหน่งที่ 10 ขั้นงานจะมีความหนามากที่สุด และจะมีความหนาเพิ่มมากกว่าความหนาเริ่มต้นของขั้นงานซึ่งเป็นผลมาจากการเค้นอัดในแนวเส้นรอบวงบริเวณปีกกว้างในขณะลากขึ้นรูปนั้นเอง

4.4 อิทธิพลของรัศมีบ่า cavity ที่มีผลต่อความหนาแน่นบริเวณมุมกล่องของขั้นงาน

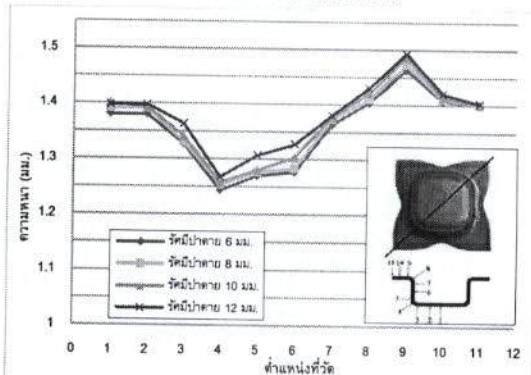
เนื่องจากกระบวนการลากขึ้นรูปขั้นงานรูปทรงสี่เหลี่ยมจัตุรัส การให้ลดตัวของขั้นงานบริเวณด้านตรงกับบริเวณมุมกล่อง จะมีอัตราการไหลลดตัวของแผ่นขั้นงานไม่เท่ากัน จึงได้ทำการดัดฝ่าขั้นงานที่มีความสมบูรณ์ไม่เกิดรอยแตกและรอยย่นในแต่ละรัศมีบ่า cavity เพื่อวัดความหนาแน่นถ่วงบริเวณมุมกล่องแล้วนำค่าที่ได้มาสร้างเป็นกราฟเส้น เพื่อเปรียบเทียบผลความหนาแน่นถ่วง บริเวณมุมกล่องของขั้นงานที่รัศมีบ่า cavity แต่ละระดับของด้วยเบร์ที่ทดสอบได้กราฟแสดงความหนาแน่นถ่วงบริเวณมุมกล่องของขั้นงานแสดงดังรูปที่ 8 และ 9 จากการวัดค่าความหนาของขั้นงานที่รัศมีบ่า cavity 6, 8, 10 และ 12 mm. พบว่าความหนาของขั้นงานเหล็ก SPCC และเหล็ก SAPH440 มีแนวโน้มของการเปลี่ยนแปลงความหนาของผนังถ่วงบริเวณมุมกล่องเป็นไปในทิศทางเดียวกัน คือบริเวณกันถ่วงในตัวแหน่งที่ 1 และตัวแหน่งที่ 2 จะมีการเปลี่ยนแปลงทางด้านความหนาลดลงจากความหนาเดิมของแผ่นเปล่าเพียงเล็กน้อย จากนั้นจะเริ่มลดลงในตัวแหน่งที่ 3 และ 4 โดยบริเวณมุมกันถ่วงเหนือรัศมีพั้นช์หรือตัวแหน่งที่ 4 เป็นจุดที่รับแรงดึงสูงสุด จากการดัดโค้งตามรัศมีบ่า cavity และแรงดึงจากการดัดโดยมีรัศมีบ่า cavity ทำให้ผนังถ่วงบริเวณนี้ มีความหนาอยู่ที่สุดซึ่งเหมือนกันทั้งเหล็ก SPCC และเหล็ก SAPH440 ในตัวแหน่งที่ 5 ความหนาจะเพิ่มขึ้นตามความสูงของผนังกล่องจนถึงตัวแหน่งที่ 9 โดยที่ตัวแหน่งที่ 9 จะมีความหนาสูงสุด เนื่องจากการขยายตัวของแผ่นขั้นงานที่มาจากการเบี้ยดหรือการอัดตัวในแนวเส้นรอบวง จากนั้นความหนา



ของชิ้นงานจะอยู่ ลดลงจนเท่ากับความหนาเดิมของแผ่นเปล่า ในตำแหน่งที่ 10 และตำแหน่งที่ 11 ความหนาจะใกล้เคียงกับความหนาเดิมของวัสดุแสดงดังรูปที่ 8 และ 9



รูปที่ 8 กราฟแสดงความหนาผนังถ่วงบริเวณมุมกล่องชิ้นงานเหล็ก SPCC แต่ละรัศมีบ่า cavity



รูปที่ 9 กราฟแสดงความหนาผนังถ่วงบริเวณมุมกล่องชิ้นงานเหล็ก SAPH 440 แต่ละรัศมีบ่า cavity

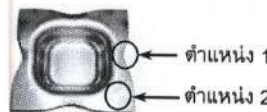
4.5 อิทธิพลของรัศมีบ่า cavity ที่มีผลต่อรอยแตกและรอยย่น

ความเสียหายที่จะเกิดขึ้นบนชิ้นงานที่มีรูปทรงไม่สมมาตรหรือเกิดรอยย่นที่ปีกถ่วง เกิดรอยฉีกขาดที่บริเวณมุมรัศมีพันธ์ หรือรอยฉีกขาดที่เกิดจากการโหลดตัวไม่เท่ากันที่บริเวณต่างๆ ของชิ้นงานที่บริเวณปีกของชิ้นงานถ่วงสี่เหลี่ยม โดยเฉพาะขอบปีกตรงบริเวณรัศมีมุมโถง ซึ่งมีแนวโน้มที่จะเกิดการไปงับตัว และเกิดรอยย่นได้มากที่สุด เพราะเป็นบริเวณที่เกิดความต้านตัวในแนวเส้นรอบวงมาก และบริเวณรัศมีมุมโถงจะเกิดความต้านตัวที่มาก ทำให้การโหลดตัวของแผ่นชิ้นงานข้ากว่าบริเวณขอบเส้นตรงของถ่วง จึงทำให้เนื้อวัสดุเกิดการอัดตัวบริเวณรัศมีมุมโถงซึ่งเป็นสาเหตุที่ทำให้เกิดการไปงับตัวหรือเกิดรอยย่น การลากชิ้นรูปจะเป็นต้องใช้แรงในการลากชิ้นรูปที่สูงขึ้น เพื่อเอาชนะแรงเสียดทานที่เพิ่มขึ้น ซึ่งในบางครั้ง จะทำให้งานเกิดการฉีกขาดตรงบริเวณรัศมีมุมโถงที่กันถ่วง จากการทดลองสำหรับชิ้นรูปถ่วงสี่เหลี่ยมจัตุรัสแบบมีปีกถ่วงเหล็ก SPCC ที่แรงกดแผ่นกดยึดชิ้นงาน 37.17 kN. และเหล็ก SAPH440 ที่แรงกดแผ่นกดยึดชิ้นงาน 55.74 kN. ที่รัศมีบ่า cavity

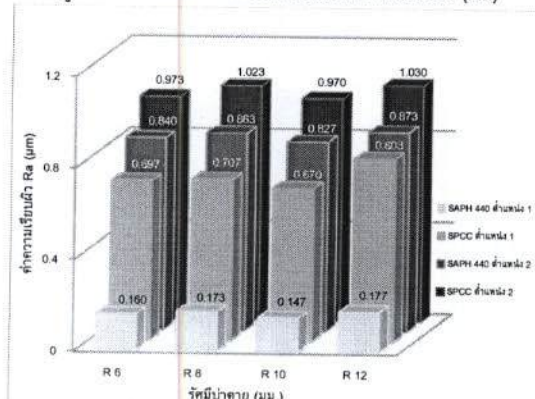
ขนาด 6,8,10 และ 12 มม. ชิ้นงานງูปถ่วงสี่เหลี่ยมจัตุรัสแบบมีปีกถ่วงเหล็กทั้งสองชนิดที่ได้นั้น ไม่เกิดรอยแตกและรอยย่นที่บริเวณปีกของชิ้นงาน เนื่องจากรัศมีมุมโถงของพันธ์และชายของชุดแม่พิมพ์ ที่ใช้ในการทดลองมีขนาดใหญ่ จึงทำให้แผ่นชิ้นงานสามารถโหลดตัวได้ถ่วงขึ้น และการเลือกใช้แรงกดแผ่นกดยึดชิ้นงานในการทดลองที่ได้มาจากค่าความหนาซึ่งเป็นค่าที่อยู่ในระดับที่มีความเหมาะสม ทำให้ชิ้นงานที่ได้จากการทดลองของเหล็ก SPCC และเหล็ก SAPH440 ไม่เกิดรอยแตกและรอยย่น

4.6 อิทธิพลของรัศมีบ่า cavity ที่มีผลต่อความเรียบผิว

จากการทดลองการลากชิ้นรูปถ่วงสี่เหลี่ยมจัตุรัสแบบมีปีกที่รัศมีบ่า cavity 6,8,10 และ 12 มม. น้ำชิ้นงานที่ได้จากการทดลอง ถ่ายเหล็กทั้งสองชนิดมาทำการวัดค่าความเรียบผิว (R_a) โดยกำหนดตำแหน่งที่จะทำการวัดค่าความเรียบผิว 2 ตำแหน่ง บริเวณปีกของถ่วงแสดงดังรูปที่ 10 ผลของการวัดค่าความเรียบผิวของชิ้นงาน (R_a) บริเวณปีกถ่วง โดยจัดในตำแหน่งที่กำหนดไว้ นำค่าที่ได้มาเปรียบเทียบและวิเคราะห์ผลของค่าความเรียบผิวจากเหล็กทั้งสองชนิดคือเหล็ก SPCC และเหล็ก SAPH440 แสดงดังรูปที่ 11



รูปที่ 10 แสดงตำแหน่งในการวัดค่าความเรียบผิว (R_a)



รูปที่ 11 แผนภูมิแสดงค่าความเรียบผิว (R_a) ของชิ้นงาน

จากรูปที่ 11 แผนภูมิแสดงความสัมพันธ์ระหว่าง รัศมีบ่า cavity กับค่าความเรียบผิว (R_a) หลังผ่านกระบวนการลากชิ้นรูป โดยเป็นผลของการทดลองระหว่างเหล็กสองชนิดคือเหล็ก SPCC และเหล็ก SAPH440 จะเห็นว่าในบริเวณตำแหน่งที่ 1 ซึ่งเป็นจุดที่มีการเปลี่ยนแปลงความหนาเพิ่มขึ้นจากความหนาเดิมจะมีค่าความเรียบผิว (R_a) ลงทะเบียนกว่าตำแหน่งที่ 2 ซึ่งเป็นตำแหน่งที่ไม่มีการเปลี่ยนแปลงความหนาจากความหนาเดิม แต่เมื่อพิจารณาถึงรัศมีบ่า cavity จะเห็นได้ว่ารัศมีบ่า cavity ไม่มีอิทธิพลที่ชัดเจนต่อค่าความเรียบผิวของชิ้นงาน ในบริเวณตำแหน่งที่ได้ทำการวัดทั้ง 2 ตำแหน่ง โดยมีแนวโน้มที่เหมือนกันทั้งเหล็ก SPCC และเหล็ก



SAPH440 อย่างไรก็ตามจะเห็นการเปลี่ยนแปลงของค่าความเรียบคิวอูบูนง แต่การเปลี่ยนแปลงดังกล่าวไม่มีแนวโน้มที่ชัดเจนที่มีความสัมพันธ์กับการเปลี่ยนแปลงรัศมีบ่า cavity จึงเป็นไปได้ว่าความเรียบผิวของชิ้นงาน ในบริเวณตำแหน่งที่ได้ทำการวัดค่านั้นเปลี่ยนไป เพราะอาจมาจากอิทธิพลของดัชนี้แห่งอุ่นที่ไม่ใช่ขนาดของรัศมีบ่า cavity

5. สรุป

1. ขนาดของรัศมีบ่า cavity มีอิทธิพลโดยตรงกับความสามารถในการโหลดตัวของโลหะและพื้นที่สัมผัสของแผ่นชิ้นงานระหว่าง cavity กับแผ่นกดยึดชิ้นงาน ทั้งนี้ผลการทดสอบของแรงสูงสุดที่ใช้ในการลากชิ้นรูปของเหล็ก SPCC ก็ได้แนวโน้มเช่นเดียวกับเหล็ก SAPH440
2. รัศมีบ่า cavity มีผลต่อความกว้างของชิ้นงานรวมบีก
3. การปรับเปลี่ยนขนาดของรัศมีบ่า cavity จะมีอิทธิพลต่อความหนาของผังน้ำบริเวณมุมกางของชิ้นงาน
4. ระดับแรงกดแผ่นกดยึดชิ้นงาน ตามค่าที่ได้จากการคำนวณเหล็กทั้งสองชนิด สามารถลากชิ้นรูปได้โดยไม่เกิดรอยแตกและรอยบ่อมที่ระดับแรงกดแผ่นกดยึดชิ้นงาน 37.17 kN. สำหรับเหล็ก SPCC และ 55.74 kN. สำหรับเหล็ก SAPH440
5. การเปลี่ยนแปลงของค่าความเรียบผิว (R_a) ของเหล็ก SPCC และเหล็ก SAPH440 เป็นไปในลักษณะที่สอดคล้องกัน คือจะมีค่าความเรียบผิวที่ละเอียดในบริเวณตำแหน่งที่ 1 และจะมีค่าความเรียบผิว (R_a) เพิ่มขึ้นในบริเวณตำแหน่งที่ 2 โดยเหล็ก SAPH440 จะมีค่าความเรียบผิวที่ละเอียดกว่าเหล็ก SPCC

กิตติกรรมประกาศ

งานวิจัยนี้ได้รับความร่วมมือจาก นายกฤษฎา หนูนา นายนรรตน์ ลolyararun นายบรรพต ชาติมนตรี นายอนิรุช มีนแก้ว นายอิสสรา ใหม่พรหม นายชัยณุ สุรแทกษะ นายสรพงศ์ วงศ์พัฒน์ นักศึกษาภาควิชาชีวกรรมอุตสาหกรรม คณะวิศวกรรมศาสตร์ มหาวิทยาลัยเทคโนโลยีราชมงคลชั้นบุรี ที่ช่วยทำการทดลองและบันทึกผล และขอขอบคุณอาจารย์มุนย์สั่ง คงถัง ที่ช่วยให้คำแนะนำในเรื่องการใช้อุปกรณ์ที่ใช้ในการทดลอง

เอกสารอ้างอิง

- [1] Takita, M. and Ohashi, H., Application of High-strength Steel Sheets for Automobiles in Japan [Online], Available:<http://www.edpsciences.org/article/metal/pdf/2001/09/takita.pdf> [2006, January 9].
- [2] ภาสพิรุห์ ศรีส่าเริง, 2552, การศึกษาเพื่อลดการบีตติดบนแม่พิมพ์ชิ้นรูปเหล็กกล้าความแข็งแรงสูง, สถาบันเทคโนโลยีพระจอมเกล้าชั้นบุรี.
- [3] ไฟฟูรุย โภวิทยวงศ์, 2544, การศึกษาอิทธิพลของรัศมีบ่า cavity ในการลากชิ้นรูปกางสี่เหลี่ยมจัตุรัส, สถาบันเทคโนโลยีพระจอมเกล้าชั้นบุรี.
- [4] วารุณี ประมาณท์, 2552, แม่พิมพ์โลหะแผ่น, สำนักพิมพ์สมาคมส่งเสริมเทคโนโลยี (ไทย-ญี่ปุ่น), กรุงเทพฯ, หน้า (2-4)-(142-179)
- [5] El-Wakil,D.S.Kamal, M.N.E.M. and Darwish, A.H., 1980, "Mechanics of The Square Box Drawing Operation of Aluminum Blank," Mechanical Engineering Department, pp.679-759
- [6] Toh, C.H., 1984, "Deformation Analysis and Blank Design in Square Cup Drawing" Journal Mechanic Science, Vol. 25, No. 1, pp. 15-32.
- [7] ดร.สันย์ ลัดดาววงศ์, 2552, การออกแบบและสร้างแม่พิมพ์ดึงชิ้นรูปโลหะทรงกระบอกและทรงสี่เหลี่ยม, มหาวิทยาลัยเทคโนโลยีพระจอมเกล้าพระนครเหนือ, หน้า 1-6
- [8] Huang, Y.M. and Chen, J.W., 1994, "Influence of The Tool Clearance in The Cylindrical Cup-Drawing Process," Journal of Materials Processing Technology, Vol. 57, pp. 4-13.
- [9] Leu, D.K., 1996, "Prediction of The Maximum Drawing Load in the Cup-Drawing Process of Sheet Metals," Journal of Materials Processing Technology, Vol.72, pp. 256-261.
- [10] จุลศิริ ศรีวิจัย, 2539, วิศวกรรมงานแม่พิมพ์ชิ้นรูปโลหะแผ่นเบื้องต้น, สถาบันเทคโนโลยีพระจอมเกล้าชั้นบุรี, หน้า (7.1-7.42)-(8.1-8.46)
- [11] Lange, K., 1958, Handbook of Metal Forming, 2nded., McGraw-Hill, New York, pp. 2.1-20.66
- [12] Schuler, 1998, Metal Forming Handbook, 2nded., Springer, Berlin Heidelberg, pp. 156-388.